

بررسی عملکرد سیستم فتوالیز در حذف هیدروکربن‌های نفتی از فاضلاب و مدل‌سازی آن*

محمدقاسم رحیمی^(۱)، احمد خدادادی^(۲)، بیتا آیتی^(۳)

چکیده آب آلوده به هیدروکربن‌های نفتی همواره بر روی محیط اطراف، اثرات منفی و زیان‌بار زیادی در ابعاد مختلف سلامتی جامعه، اقتصادی و محیط زیستی داشته است. بنابراین پژوهش حاضر با هدف مطالعه و بررسی تصفیه‌پذیری این نوع آلاینده‌ها از فاضلاب با استفاده از سیستم فتوالیز و همچنین مدل‌سازی آن صورت گرفت. در این سیستم به بررسی و مطالعه تأثیر COD‌های مختلف (۳۵۰، ۲۵۰، ۱۰۰، ۵۰ و ۰۰۰ میلی‌گرم بر لیتر) و شدت تابش‌های متفاوت لامپ UV-C (۶۰، ۴۰، ۲۰، ۱۰ وات) پرداخته شد. براساس میزان مصرف انرژی به‌ازای حذف هر واحد COD، غلظت و شدت تابش بهینه به ترتیب ۳۵۰ میلی‌گرم بر لیتر و ۱۰ وات برای حذف هیدروکربن‌های نفتی بدست آمد. در مدل‌سازی این سیستم در شدت تابش ۶۰ وات علاوه بر COD‌های مذکور، COD معادل ۱۰۰۰ میلی‌گرم بر لیتر نیز مورد بررسی قرار گرفت. با بررسی نتایج حاصل مشاهده شد که می‌توان از سیستم فتوالیز به عنوان یک واحد پیش‌تصفیه مناسب برای سیستم‌های بیولوژیکی بهره گرفت.

واژه‌های کلیدی فتوالیز، هیدروکربن‌های نفتی، COD، شدت تابش، انرژی مصرفی.

Photolysis System Performance in Petroleum Hydrocarbons Removal from Wastewater and its Modeling

M. Gh. Rahimi

A. Khodadadi

B. Ayati

Abstract Water contaminated with petroleum hydrocarbons has harmful effects on health, economy and environment. In this study, photolysis process for treating petroleum hydrocarbons was investigated. Hence different initial CODs with different UV-C radiation power were examined. Based on the energy consumption per unit of COD removed, COD of 350 mg/L and radiation power of 80 W were chosen as the optimum conditions. To improve model prediction, in addition to the aforementioned CODs, COD=1000 mg/L in 60 W was also tested. The findings indicated that photolysis can be considered as a suitable pretreatment process for the biological systems.

Key Words Photolysis; Petroleum Hydrocarbons; COD; Radiation Power; Energy Consumption.

* تاریخ دریافت مقاله ۹۳/۲/۳۱ و تاریخ پذیرش آن ۹۴/۵/۱۸ می‌باشد.

(۱) دانشجوی کارشناسی ارشد، مهندسی عمران و محیط زیست، دانشگاه تربیت مدرس، تهران.

akdarban@modares.ac.ir

(۲) نویسنده مسئول: دانشیار، دانشکده فنی و مهندسی، دانشگاه تربیت مدرس، تهران.

(۳) دانشیار، دانشکده مهندسی عمران و محیط زیست، دانشگاه تربیت مدرس، تهران.

مینامیدات و همکاران، طی تحقیقاتی اعلام کردند که UV-C می‌تواند باقی‌مانده سوم حشره‌کش را در آب تجزیه کند [22,23].

لذا هدف از این تحقیق، ارزیابی کارایی سیستم فتوولیز و تعیین شرایط بهینه آن به عنوان پیش‌تصفیه در شکستن هیدروکربن‌های نفتی سخت تجزیه‌پذیر و آماده‌سازی آن برای واحد تصفیه اصلی بود که در نهایت مدل‌سازی آن برای پیش‌بینی زمان مورد نیاز برای حذف بیشترین میزان COD صورت گرفت.

مواد و روش‌ها

روش کار. آلاینده‌های نفتی موجود در پساب پالایشگاه شامل انواع هیدروکربن‌ها است که از واحدهای تقطیر نفت خام و آب‌زدایی نفت پالایشگاه بدست می‌آید. با توجه به گزارش چاوان و همکاران، بیشتر ترکیبات نفتی موجود در پساب پالایشگاه نفت در محدوده C₁₄-C₃₅ هستند که میزان غلظت هیدروکربن‌های سبک بیش از سنگین می‌باشد [8]. بنابراین برای تصفیه فاضلاب سنتزی از ترکیب گازوئیل (C₁₆-C₂₀) با نفت خام (C₈-C₃₇) به نسبت ۱ به ۲ استفاده شد. علاوه بر این، مخلوط قبل از تزریق به سیستم به مدت ۴۸ ساعت هوادهی شد تا ترکیبات سبک، همراه با بخار آب (وارد شدن به فاز گاز) از محیط خارج شود و هیدروکربن‌های گریسی سنگین (سنگین‌تر از C₃₅) به دیواره‌های ظرف بماند [24] و از ورود هیدروکربن‌های خیلی سبک و خیلی سنگین به رآکتور جلوگیری شود.

پس از این مرحله، فاضلاب به یک پایلوت مکعب مستطیل پلاستیکی به ابعاد ۲۴*۱۷*۹ سانتی‌متر مطابق شکل (۱) بر روی همزن مغناطیسی و در تماس مستقیم با اشعه UV-C (طول موج ۲۵۴ نانومتر) تزریق شد به طوری که ارتفاع فاضلاب درون پایلوت ۵ سانتی‌متر شد.

در ابتدا اثر تغییرات شدت تابش (۱۰۰، ۸۰، ۶۰، ۱۲۰ وات) و میزان COD (۵۰، ۱۰۰، ۲۵۰، ۳۵۰ و ۵۰۰ میلی‌گرم بر لیتر) و نیز اثر هم‌زمان آن دو بررسی و

مقدمه

فاضلاب نفتی بیشترین حجم ضایعات تولیدی در یک صنعت نفتی و یا گازی را تشکیل می‌دهد و شامل طیف وسیعی از آلاینده‌های هیدروکربنی با غلظت‌های مختلف است [1]. تصفیه این نوع فاضلاب بایستی به دلیل دارا بودن محتوای بالای ترکیبات آروماتیک چندحلقه‌ای سمی، سرطانزا و مقاوم، در اولویت قرار گیرد [2-4]. تاکنون از روش‌های متفاوتی برای تصفیه فاضلاب‌های نفتی استفاده شده است. فرآیندهای بیولوژیکی نمونه‌ای از این روش‌ها هستند که اگرچه قابلیت حذف بسیاری از کربن‌های آلی محلول را دارند [5-7]، اما به دلیل وجود ترکیبات سخت و مقاوم در فاضلاب نفتی راندمان مناسبی ندارند [8]. COD بالای باقی‌مانده در پساب تصفیه شده میین این موضوع است [9,10]. روش‌های دیگر تصفیه شامل فرآیندهای شیمیایی مانند انعقاد [11] و اکسیداسیون شیمیایی است [4]. راندمان و نرخ واکنش این روش‌ها کم [12] و مقدار اکسیدکننده مورد نیاز آنها زیاد می‌باشد و با تولید لجن همراه است و تنها در محدوده کوچکی از pH قابل بهره‌برداری است [13,14]. لذا زمانی که حجم پساب زیاد باشد، استفاده از این روش‌ها با محدودیت مواد می‌شود [15]. برای تصفیه فاضلاب‌های نفتی کاربرد فن‌آوری‌های جدیدی نظری غشاها [16,17]، انجامد [18] و اکسیداسیون کاتالیستی هوای مرطوب با امواج ماکروویو [19] که به دلیل مشکلاتی نظری مصرف انرژی بالا از لحاظ اقتصادی مقرن به صرفه نیستند، نیز گزارش شده است.

در سال‌های اخیر، کاربرد اشعه UV در فرآیندهای تصفیه آب، رشد چشم‌گیری داشته است. اشعه UV و یون‌های اکسایشی نوری دارای پتانسیل بالقوه مناسبی در غیرفعال‌سازی میکروارگانیسم‌ها و تحریب طیف وسیعی از آلاینده‌ها در محیط آبی می‌باشند [20]. به عنوان نمونه، یانگ و همکاران با کاربرد UV-C، بدون استفاده از کاتالیست، تا ۱۲ درصد از غلظت پارازیتامول با غلظت اولیه ۴ میلی‌مولار را طی ۱۲/۵ روز از محیط مایع کاهش دادند [12]. هیرارا و همکاران و نیز

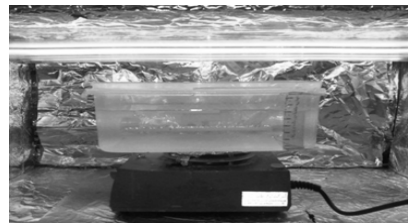
پرتوهای اشعه و بازتابش آن، اثرگذاری بیشتر اشعه در راندمان حذف و همچنین به منظور حفظ شرایط ایمنی آزمایشگاه، جداره داخلی و خارجی پایلوت به طور کامل با ورقه‌های آلومینیومی ضخیم پوشانده شد. اندازه‌گیری COD از روش رفلاکس بسته طبق دستورالعمل D ۵۲۲۰ [26] صورت گرفت. مواد دیگر مورد استفاده شامل آب دو بار تقطیر، دی‌کرومات پتاسیم ($\text{Cr}_2\text{K}_2\text{O}_7$)، سولفات نقره (Ag_2SO_4), سولفات جیوه (HgSO_4), اسید سولفوریک (H_2SO_4) و پتاسیم هیدروژن فتالات (KHP) برای آزمایش COD بودند.

نتایج و بحث

بررسی اثر همزمان تغییرات شدت تابش و غلظت آلاینده. نتایج تأثیر شدت تابش در مقادیر مختلف COD در نمودار (۱) ارائه شده است. همان‌گونه که مشاهده می‌شود در کلیه نمودارها در ابتدای فرآیند، میزان COD روند افزایشی دارد که به تدریج کاهش می‌یابد. این مطلب بیانگر قابلیت اشعه UV-C در تجزیه تدریجی ترکیبات پیچیده موجود در فاضلاب ستزی است [27,28].

همچنین همان‌طور که انتظار می‌رود، با افزایش غلظت آلاینده، مدت زمان تابش اشعه UV-C برای رسیدن به راندمان حذف ثابت نیز افزایش می‌یابد و راندمان حذف در شدت تابش ثابت کاهش می‌یابد به‌طوری‌که میزان حداقل حذف آلاینده در شدت تابش ۶۰ وات در COD های مذکور به ترتیب ۵۰ (در یک روز)، ۳۷ (در دو روز)، ۲۸ (در سه روز)، ۲۵ (در چهار روز) و ۱۶ (در پنج روز) درصد می‌باشد. همچنین ملاحظه می‌شود که با افزایش توان لامپ و درنتیجه شدت تابش بر واحد سطح، میزان راندمان افزایش می‌یابد به‌نحوی که در COD ورودی ۵۰ میلی‌گرم بر لیتر با افزایش ۲ برابری توان لامپ از ۶۰ به ۱۲۰ وات، میزان راندمان حذف برای زمان ماند ۹۶ ساعت ۴۲ درصد بیشتر شده و به ۶۰ درصد رسیده است.

مقادیر بهینه آنها تعیین گردید. در ادامه، سیستم فتوولیز در شدت تابش بهینه مدل شد.



شکل ۱ پایلوت مورد استفاده در تحقیق

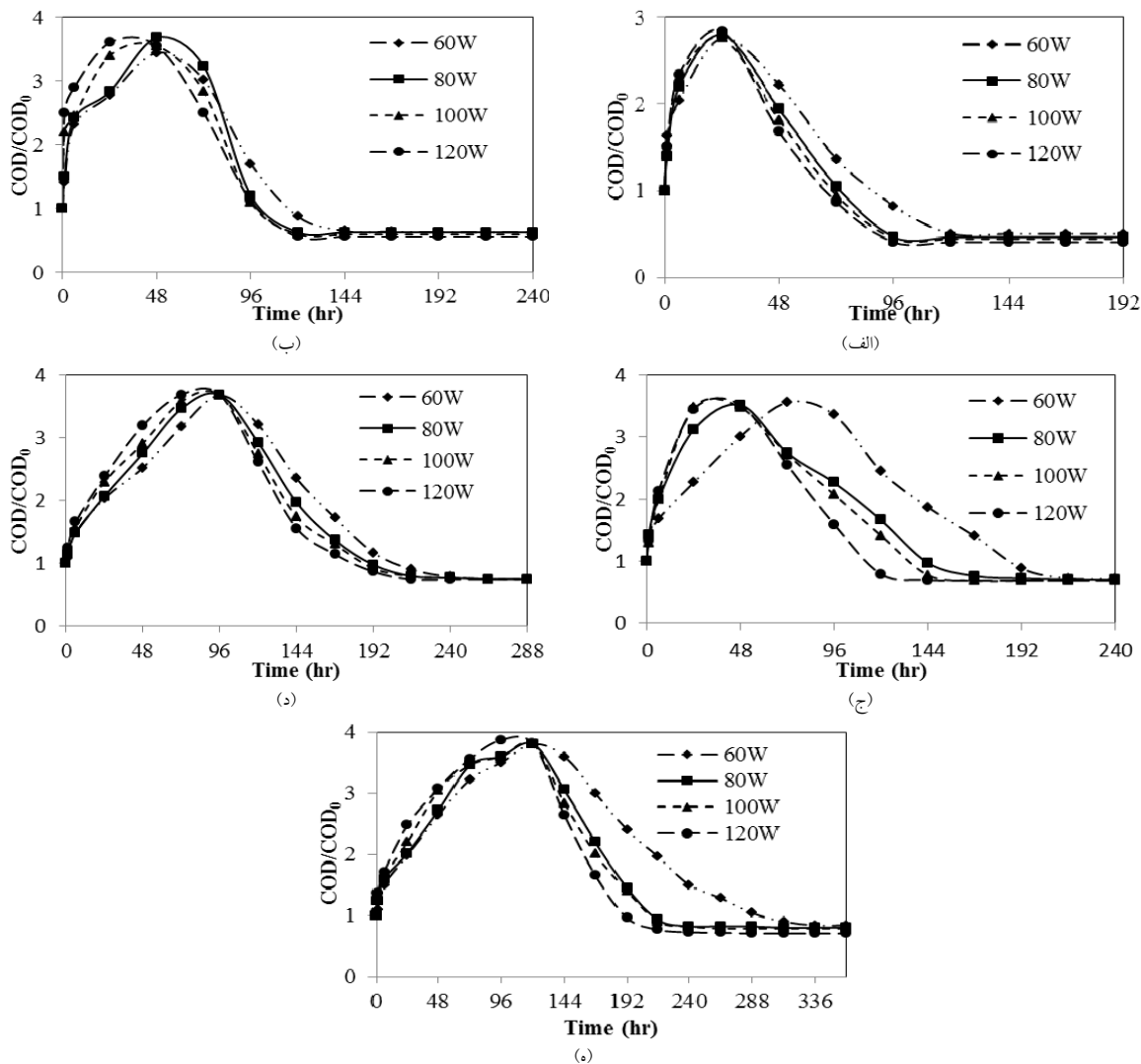
نکته قابل ذکر این‌که در هر مرحله از تحقیق، بهینه‌سازی پارامترهای شدت تابش و COD براساس حداقل میزان مصرف انرژی طبق روابط ۱ و ۲ صورت گرفت [25].

$$\text{EC} = W \times t \quad (1)$$

$$\text{EC/COD} = \text{EC}/(\text{COD}_{\text{in}} - \text{COD}_{\text{out}}) \quad (2)$$

که در آن، EC انرژی مصرفی (کیلو وات ساعت)، W برق مصرف شده برحسب کیلووات (kW)، t برابر با مدت زمان تابش برحسب ساعت (hr)، COD انرژی مصرف شده برای حذف هر میلی‌گرم بر لیتر آلاینده برحسب کیلووات ساعت می‌باشد.

مواد و تجهیزات. به منظور صاف‌سازی نمونه‌ها برای اندازه‌گیری پارامترهای محلول از صافی غشائی ۰/۴۵ میکرومتر استفاده شد. کلیه آزمایش‌ها براساس روش‌های استاندارد آزمایش‌های آب و فاضلاب [26] انجام گرفت. برای اندازه‌گیری پارامترها از اسپکتروفوتومتر DR4000 مدل pH Carry50 متر دیجیتالی Metrohm مدل ۶۹۱، رآکتور COD ساخت شرکت Hach مدل DRB200، ترازوی دیجیتالی مدل PLS360-3 ساخت شرکت Kern با دقت ۰/۰۰۱ گرم و Ika همزن مغناطیسی مدل RH-Basic2 ساخت شرکت استفاده شد. همچنین به منظور تأمین اشعه UV-C از لامپ‌های جیوه‌ای کم فشار ۲۰ وات Philips ساخت آلمان استفاده گردید و به منظور جلوگیری از خروج



نمودار ۱ بررسی اثر هم زمان تغییرات شدت تابش و غلظت آلاینده

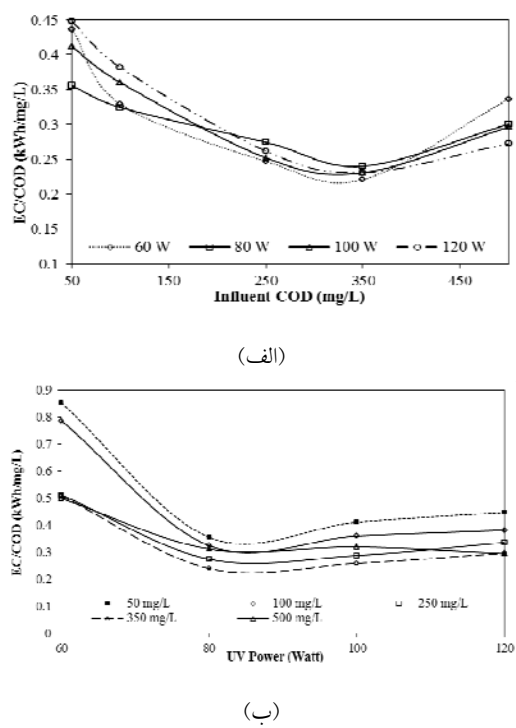
(الف) ۵۰ mg/L، (ب) ۱۰۰ mg/L، (ج) ۲۵۰ mg/L، (د) ۳۵۰ mg/L، (e) ۵۰۰ mg/L

این زمان ماند اختلاف در بین توان‌های ۸۰ و ۱۲۰ وات بسیار ناچیز بود.

همان‌طور که مشاهده می‌شود با افزایش توان لامپ UV و ثابت فرض کردن COD ورودی، نمودارها سریع‌تر به راندمان حذف ثابت میل می‌کنند. به‌طوری‌که در COD معادل ۵۰ میلی‌گرم بر لیتر و توان لامپ ۱۲۰ وات (نمودار ۱-الف) این نتیجه سریع‌تر حاصل می‌شود؛ اما با افزایش غلظت آلاینده و ثابت فرض کردن توان لامپ، عکس این عمل اتفاق می‌افتد؛

در COD معادل ۵۰ میلی‌گرم بر لیتر، افزایش توان از ۸۰ به ۱۰۰ وات و ۱۰۰ به ۱۲۰ وات در راندمان حذف تأثیر کمتری نسبت به افزایش توان از ۶۰ به ۸۰ وات داشته که این تأثیر پس از زمان ماند ۱۲۰ ساعت برای کلیه شدت تابش‌ها ناچیز بود. نتایج مشابهی برای COD‌های دیگر نیز حاصل شد.

در COD معادل ۱۰۰ میلی‌گرم بر لیتر، اختلاف راندمان حذف آلاینده در توان‌های مختلف منبع نوری تا قبل از زمان ماند ۹۶ ساعت محسوس بود؛ اما پس از



نمودار ۲ میزان مصرف انرژی بهازای (الف) COD ورودی مختلف،
ب) توانهای مختلف

در تحقیق دلنواز (۱۳۹۰)، توان ۶۰ وات و غلظت ۱۰۰ میلی گرم بر لیتر به عنوان شرایط بهینه در حذف فنل توسط فرآیند فتوکاتالیستی گزارش شد [۲۹]. عسگری (۱۳۹۲) نیز برای حذف رنگزای ۷۱ به ترتیب مقادیر ۹۰ وات و ۱۰۰ میلی گرم بر لیتر برای شرایط بهینه فرآیند انتخاب کرد [۳۰]. همچنین نتایج حاصل از تحقیق ملکی (۱۳۸۹) حاکی از حذف ۶۱ درصدی رنگزای راکتیو قرمز ۱۹۸ از فاضلاب با استفاده از سیستم فتوولیز با غلظت ۶۰ میلی گرم بر لیتر در توان ۵۵ وات بعد از دو ساعت میباشد [۳۱].

مدل تعیین زمان COD بیشینه. مدل سازی سیستم با بررسی کارایی سیستم در CODهای مختلف تحت شدت تابش ۶۰ وات و نیز بهترین برآش نقطه با مقادیر COD_{max}/COD_0 برای هر غلظت بر حسب زمان در نمودار (۳) ارائه شده است. همان‌گونه که در نمودار (۳-الف) ملاحظه می‌شود، تغییرات نسبت به زمان در CODهای مختلف روند مشابهی

به طوری که در COD معادل ۵۰۰ میلی گرم بر لیتر و توان ۶۰ وات، راندمان حذف دیرتر به حالت ثابت می‌گذرد. همچنین ملاحظه می‌شود که اختلاف چندانی بین نتایج توانهای ۱۰۰ و ۱۲۰ وات در میزان حذف آراینده مشاهده نمی‌شود؛ ولی بین توانهای ۶۰ و ۸۰ وات اختلاف بیشتری نسبت به ۱۰۰-۸۰ و ۱۰۰-۶۰ وات مشاهده می‌شود که این نتیجه در نمودارهای (۱-ج) و (۱-ه) مشهودتر می‌باشد. تخریب بیشتر ترکیبات هیدروکربنی در شدت تابش ۸۰ وات نسبت به ۶۰ وات، دلیل اصلی اختلاف به نسبت زیاد این دو شدت تابش است. همچنین اختلاف اندک بین شدت تابش های ۸۰ و ۱۲۰ وات، به ماهیت هیدروکربن‌های نفتی و اثربخشی یکسان این شدت تابش‌ها برمی‌گردد.

تعیین مقادیر بهینه شدت تابش و غلظت با بررسی توانهای تابشی مختلف در CODهای مورد بررسی، میزان بهینه شدت تابش و COD ورودی تعیین گردید.

طبق نمودار (۲-الف) کمترین میزان مصرف انرژی در COD معادل ۳۵۰ میلی گرم بر لیتر به میزان بهترین ۰/۲۳۱، ۰/۲۳۱ و ۰/۲۴ کیلووات ساعت بهازای هر میلی گرم بر لیتر در توانهای ۶۰، ۸۰ و ۱۲۰ وات حاصل شد.

همچنین طبق نمودار (۲-ب) کمترین میزان مصرف انرژی مربوط به توان ۸۰ وات به میزان ۰/۲۴ کیلووات ساعت بر میلی گرم بر لیتر در COD معادل ۳۵۰ میلی گرم بر لیتر در ۰/۲۷۴ کیلووات ساعت بر میلی گرم بر لیتر در COD معادل ۰/۳۱۲ کیلووات ساعت بر میلی گرم بر لیتر در COD معادل ۰/۳۲۴ کیلووات ساعت بر میلی گرم بر لیتر در ۱۰۰ میلی گرم بر لیتر در COD معادل ۰/۳۶ کیلووات ساعت بر میلی گرم بر لیتر در COD معادل ۵۰ میلی گرم بر لیتر نتیجه شد؛ بنابراین COD معادل ۳۵۰ میلی گرم بر لیتر و شدت تابش ۸۰ وات، با توجه به مصرف کمترین انرژی به عنوان مقادیر بهینه در حذف هیدروکربن‌های نفتی در نظر گرفته شدند.

با وجود این که کاربرد چنین روابطی کنترل بهتر سیستم و برنامه‌ریزی برای آن را در شرایط مختلف به خصوص در صنعت ممکن می‌سازد اما تاکنون این موارد در هیچ پژوهشی مورد توجه قرار نگرفته‌اند که با توجه به اهمیت موضوع در این تحقیق بررسی‌های لازم به عمل آمد.

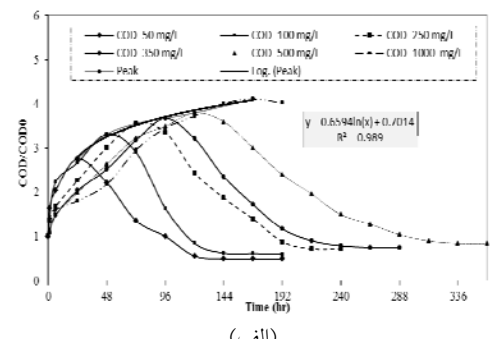
نتیجه‌گیری

هیدروکربن‌های نفتی به دلیل سمیت، پایداری، قابلیت تجمع در بدن موجودات زنده و توانایی بقا در محیط به مدت طولانی یک تهدید جدی برای محیط زیست محسوب می‌شوند. در این تحقیق کارایی سیستم فتولیز در تصفیه فاضلاب ستزی هیدروکربن‌های نفتی بررسی شد و غلظت و شدت تابش بهینه به ترتیب ۳۵۰ میلی‌گرم بر لیتر و ۸۰ وات به دست آمد. هم‌چنین با مدل‌سازی سیستم، تقریب خوب و با دقت بالایی از زمان رسیدن به COD بیشینه در حذف آلاینده به دست آمد تا پیش‌بینی عملکرد سیستم و برنامه‌ریزی برای آن در شرایط مختلف امکان‌پذیر شود. با توجه به تبدیل ترکیبات سخت تجزیه‌پذیر نفتی به ترکیبات ساده‌تر می‌توان سیستم فتولیز را به عنوان یک پیش‌تصفیه برای دیگر فرآیندها در حذف هیدروکربن‌های نفتی در نظر گرفت.

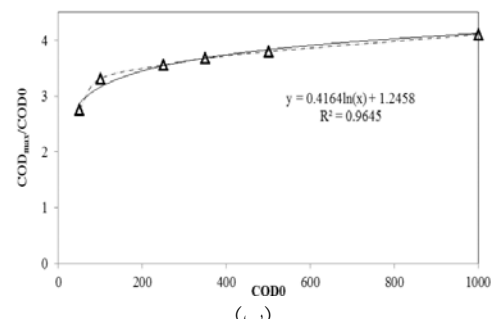
دارند که می‌توان از اتصال نقاط بیشینه آنها رابطه مناسبی را استخراج کرد نمودار (۳-ب). بهترین برازش در نمودارها رگرسیون خطی است. در این نمودارها رگرسیون لگاریتمی با ضریب همبستگی ۰/۹۹ و مطابق روابط (۳) و (۴) به دست آمد (t مدت زمان حصول COD_{max} بر حسب روز).

$$\text{COD}_{\text{max}}/\text{COD}_0 = 0.7014 \ln(t) + 0.7594 \quad (3)$$

$$\text{COD}_{\text{max}}/\text{COD}_0 = 1/2458 \ln(\text{COD}_0) + 0.4164 \quad (4)$$



(الف)



(ب)

نمودار ۳ تغییرات حذف COD در سیستم فتولیز و رگرسیون لگاریتمی مقادیر COD_{max}/COD₀ (الف) بر حسب زمان، (ب) بر حسب COD₀ (P_{UV}=۱۰ W)

مراجع

1. Tellez, G. T., Nirmalakhandan, N., & Gardea-Torresdey, J. L., "Performance evaluation of an activated sludge system for removing petroleum hydrocarbons from oilfield produced water". *Advances in Environmental Research*, Vol. 6, No 4, pp.455-470, (2002).
2. Mrayyana B., Battikhi M. N., "Biodegradation of total organic carbons (TOC) in Jordanian petroleum sludge", *Journal of Hazardous Material*, No 120, pp.127-134, (2005).
3. Wake H., "Oil refineries: a review of their ecological impacts on the aquatic environment", *Estuar. Coast Shelf Sci.*, No. 62, pp. 131-140, (2005).
4. Abdelwahab O., Amin N. K., El-Ashtoukhy E. S. Z., "Electrochemical removal of phenol from oil refinery wastewater", *Journal of Hazardous Mater*, No.163, pp.711-716, (2009).

5. Schneider E. E., Cerqueira A.C.F.P., Dezotti M., "MBBR evaluation for oil refinery wastewater treatment with post-ozonation and BAC for wastewater reuse", *Water Science & Technology*, No.63(1): pp. 143-148, (2011).
6. Gargouri B., Karray F., Mhiri N., Aloui F., Sayadi S., "Application of a continuously stirred tank bioreactor (CSTR) for bioremediation of hydrocarbon-rich industrial wastewater effluents", *Journal of Hazardous Materials*, No.189: pp.427-434, (2011).
7. Rastegar S. O., Mousavi S. M., Shojaosadati S. A., Sheibani S., "Optimization of petroleum refinery effluent treatment in a UASB reactor using response surface methodology", *Journal of Hazardous Materials*, No. 197: pp.26-32, (2011).
8. Chavan, A., and Mukherji, S., "Treatment of hydrocarbon-rich wastewater using oil degrading bacteria and phototrophic microorganisms in rotating biological contactor: Effect of N:P ratio", *Journal of Hazardous Mater*, No.154,pp. 63-72, (2008).
9. Fratila-Apachitei, L. E., Kennedy, M. D., Linton, J. D., Blume, I., & Schippers, J. C., "Influence of membrane morphology on the flux decline during dead-end ultrafiltration of refinery and petrochemical waste water", *Journal of Membrane Science*, No.182(1), pp.151-159, (2001).
10. Shokrollahzadeh, S., Azizmohseni, F., Golmohammad, F., Shokouhi, H., & Khademhaghighe, F., "Biodegradation potential and bacterial diversity of a petrochemical wastewater treatment plant in Iran", *Bioresource technology*, No. 99(14), pp. 6127-6133, (2008).
11. Santo C. E., Vilar V. J. P., Botelho C. M. S., Bhatnagar A., Kumar E., Boaventura R. A. R., "Optimization of coagulation-flocculation and flotation parameters for the treatment of a petroleum refinery effluent from a Portuguese plant", *Chemical Engineering Journal*, No. 183: pp. 117-123, (2012).
12. Huang C. R., Shu H. Y., "The reaction kinetics, decomposition pathways and intermediate formations of phenol in ozonation, UV/O₃, and UV/H₂O₂ processes", *J. Hazard. Mater.*, No. 41: pp. 47-64, (1995).
13. Laoufi N. A., Tassalit D., Bentahar F., "The degradation of phenol in water solution by TiO₂ photocatalyst in a chemical reactor", *Global NEST J.*, No. 10: pp. 404-418, (2008).
14. Kuyukina M. S., Ivshina I. R., Serebrennikova M. K., Krivorutchko A. B., Podorozhko E. A., Ivanov R. V., Lozinsky V. I., "Petroleum-contaminated water treatment in a fluidized-bed bioreactor with immobilized Rhodococcus cells", *Int. Biodeterioration Biodegrad*, No. 63: pp. 427-432, (2009).
15. Guo J., Al-Dahhan M., "Catalytic wet air oxidation of phenol in concurrent downflow and upflow packed-bed reactors over pillared clay catalyst", *Chem. Eng. Sci.*, No. 60: pp. 735-746, (2005).
16. Li Y., Yan L., Xiang C., Hong L. J., "Treatment of oily wastewater by organic-inorganic composite tubular ultrafiltration (UF) membranes", *Desalination*, No. 196: pp. 76-83, (2006).
17. Rahman M. M., Al-Malack M. H., "Performance of a crossflow membrane bioreactor (CF-MBR) when treating refinery wastewater", *Desalination*, No. 191: pp. 16-26, (2006).

18. Gao W., Habib M., Smith D. W., "Removal of organic contaminants and toxicity from industrial effluents using freezing processes", *Desalination*, No. 245: pp. 108–119, (2009).
19. Sun Y., Zhang Y., Quan X., "Treatment of petroleum refinery wastewater by microwave-assisted catalytic wet air oxidation under low temperature and low pressure", *Sep. Purif. Technol.*, No. 62: pp. 565-570, (2008).
20. Sozzi, D. A., & Taghipour, F., "Computational and experimental study of annular photo-reactor hydrodynamics", *International journal of heat and fluid flow*, No. 27(6), pp. 1043-1053, (2006).
21. Yang L, Yu LE, Ray MB., "Degradation of paracetamol in aqueous solutions by TiO₂ photocatalysis", *Water Res.*, No. 42(13): pp. 3480-8, (2008).
22. Hirahara Y., Ueno H., Nakamuro K., "Comparative Photodegradation Study of Fenthion and Disulfoton under Irradiation of Different Light Sources in Liquid-and Solid-Phases", *J. Health Sci.*, No. 47(2): pp. 129-35, (2001).
23. Minamide, W., Tokumura, M., Znad, H. T., Kawase, Y., "Photodegradation of o-cresol in water by the H₂O₂/UV process", *Journal of Environmental Science and Health Part A*, No. 41(8): pp. 1543-1558, (2006).
24. Zolfaghari M., Alamzadeh I., Vosoughi M., Tafti N., "Application of Hybrid Activated Sludge Reactor to Improve Activated Sludge Process for Oily Wastewater Treatment", *Journal of Water & Wastewater*, No. 1, pp. 43-52, (2013).
25. Damodar A. R., You S. J., Ou S. H., "Coupling of membrane separation with photocatalytic slurry reactor for advanced dye wastewater treatment", *Separation and Purification Technology*. No. 76, pp. 64–71, (2010).
26. Andrew, D. (Ed.), Standard methods for the examination of water and wastewater. American Public Health Association, Washington DC, 20th Ed, (2005).
27. Konstantinou, I. K., Albanis T. A., "TiO₂-assisted photocatalytic degradationof azo dyes in aqueous solution: Kinetic and mechanistic investigations-A review", *Applay. Catalyst B: Environmental*, No. 49 (1), pp. 1–14, (2004).
28. Delnavaz M., Ayati B., Ganjidoust H., Sanjabi S., "Kinetics study of photocatalytic process for treatment of phenolic wastewater by TiO₂ nano powder immobilized on concrete surfaces", *Toxicological & Environmental Chemistry*, No. 94(6): pp. 1086-1098, (2012).
- ۲۹ دلنواز، م، "تصیفیه فاضلاب حاوی فنل از فاضلاب با استفاده از خاصیت فتوکاتالیستی نانوذرات TiO₂ پوشش داده شده بر سطح بتون بهینه‌شده با مصالح بازیافتی"، رساله دکترا، مهندسی عمران (محیط زیست)، دانشگاه تربیت مدرس، دانشکده مهندسی عمران و محیط زیست، (۱۳۹۰).
- ۳۰ عسگری، ر، "بررسی تأثیر اسکاونجر در حذف فتوکاتالیستی رنگ DB71 با نانوذرات دی‌اکسید تیتانیم پوشش داده شده بر سطح بتون"، پایان‌نامه کارشناسی ارشد، مهندسی عمران (محیط زیست)، دانشگاه تربیت مدرس، دانشکده مهندسی عمران و محیط زیست، (۱۳۹۲).
- ۳۱ ملکی، ا، "مقایسه کارایی فرآیندهای فتوولیز و التراسونولیز در تجزیه رنگزای راکتیو قرمز ۱۹۸"، مجله سلامت و محیط، فصلنامه علمی پژوهشی انجمن علمی بهداشت محیط ایران، (۱۳۸۹).